



NetWorks Sp. z o.o.
Laboratorium Badań Środowiskowych
ul. Józefa Piusa Dziekońskiego 3
00-728 Warszawa
e-mail: Laboratorium@networks.pl



AB 419

S P R A W O Z D A N I E 2673/2024/OS
Z POMIARÓW PÓL ELEKTROMAGNETYCZNYCH
WYKONANYCH DLA POTRZEB OCHRONY ŚRODOWISKA

Badany obiekt: Instalacja radiokomunikacyjna T-Mobile Polska S.A.
Numer i nazwa: 50228 (35228N!) KRY_WODZISLSL_RADLINSKA
Adres: WODZISŁAW ŚLĄSKI, RADLIŃSKA 72, Powiat wodzisławski, WOJ. ŚLĄSKIE

Data wykonania pomiarów: 2024-06-20

Sprawozdanie z badań bez pisemnej zgody laboratorium nie może być powielane inaczej niż w całości.
Wynik przedstawione w niniejszym sprawozdaniu odnoszą się wyłącznie do badanego obiektu i do warunków i konfiguracji urządzeń w dniu wykonywania pomiarów.

1. Właściciel badanego obiektu:

T-Mobile Polska S.A., ul. Marynarska 12, 02-674 Warszawa

2. Zleceniodawca:

T-Mobile Polska S.A., ul. Marynarska 12, 02-674 Warszawa

3. Przedstawiciel zleceniodawcy:

NetWorks Sp. z o.o.

4. Zakres zlecenia:

Wykonanie badania i opracowanie sprawozdania z pomiarów natężenia pola elektrycznego i pola magnetycznego dla instalacji radiokomunikacyjnej T-Mobile Polska S.A. zlokalizowanej w miejscowości WODZISŁAW ŚLĄSKI, RADLIŃSKA 72

5. Cel zlecenia:

Wykonanie pomiarów pól elektromagnetycznych w otoczeniu instalacji radiokomunikacyjnej 50228 (35228N!) KRY_WODZISL_S_RADLINSKA w odniesieniu do wymagań określonych w *Rozporządzeniu Ministra Klimatu z dnia 17 lutego 2020 r. w sprawie sposobów sprawdzania dotrzymania dopuszczalnych poziomów pól elektromagnetycznych w środowisku (Dz.U. 2022 poz. 2630)*.

6. Pomiary zostały wykonane przez:



7. Informacje o źródłach pól elektromagnetycznych

7.1. Sposób identyfikacji badanych źródeł pól elektromagnetycznych

Identyfikacji źródeł i parametrów technicznych dokonano na podstawie analizy dokumentacji dotyczącej zlecenia oraz obserwacji miejsca wykonywania badań.

7.2. Opis miejsca zainstalowania anten i urządzeń technicznych. Opis obiektu badań i jego otoczenia

Instalacja radiokomunikacyjna zlokalizowana jest na terenie ogrodzonym. Anteny zawieszono na kominie. Urządzenia sterujące oraz zasilające zainstalowano w kontenerze u podstawy komina. Wokół instalacji znajdują się tereny przemysłowe, tereny zielone.

Instalacja radiokomunikacyjna jest obiektem bezobsługowym. Okresowe stanowiska pracy związane są z prowadzonymi w zależności od potrzeb konserwacjami, przeglądami, strojeniem i naprawami.

7.3. Parametry techniczne źródła pola elektromagnetycznego

Dane przedstawiające maksymalne parametry pracy instalacji przekazane przez zleceniodawcę:

Parametry systemu nadawczo-odbiorczego:

Charakterystyka promieniowania		kierunkowa					
Rzeczywisty czas pracy [h/dobę]		24					
Warunki pracy		znamionowe					
Rodzaj wytwarzanego pola		stacjonarne					
Lp.	Częstotliwość lub zakresy częstotliwości pracy [MHz]	Typ/producent anteny	liczba anten	Azymut [°]	kąt pochylenia [°]	Wysokość środka elektrycznego anteny [m n.p.t.]	Równoważna moc promieniowana izotropowo (EIRP) [W]
1	800/900/1800/2100/2600	ASI4518R39v07 Huawei	1	80	2-12**/2-12**/ 2-12**/2-12**/ 2-12**	38	27893
2	800/900/1800/2100/2600	ASI4518R39v07 Huawei	1	195	2-12**/2-12**/ 2-12**/2-12**/ 2-12**	38	17420
3	800/900/1800/2100/2600	ASI4518R10v18 Huawei	1	320	0-10**/0-10**/ 2-12**/2-12**/ 2-12**	46.3	25601

* wskazane wartości kąta pochylenia anten, zgodnie z informacją uzyskaną od zleceniodawcy, są wartościami stałymi

** pomiary wykonano zgodnie z pkt 13., ppkt 2 załącznika do Rozporządzenia Ministra Klimatu z dnia 17 lutego 2020 r. (Dz. U. 2022, poz. 2630).

Parametry radiolinii:

Charakterystyka promieniowania				kierunkowa			
Rzeczywisty czas pracy [h/dobę]				24			
Warunki pracy				znamionowe			
Rodzaj wytwarzanego pola				stacjonarne			
Lp.	Linia radiowa			Antena			
	Typ/ Producent	Częstotliwość pracy [GHz]	Równoważna moc promieniowana izotropowo (EIRP) [W]	Typ/ producent	Średnica anteny [m]	Azymut [°]	Wysokość zainstalowania n.p.t [m]
1.	NEC iPasolink 200 Harris Stratex	32	399	VHLP1-32 Andrew	0.3	15	79
2.	Huawei RTN 905S XMC-3 Huawei	32	13	A32S03M-3X Andrew	0.3	92	81.4
3.	NEC iPasolink 100E Harris Stratex	38	15	VHLP1-38 Andrew	0.3	97	80
4.	RTN XMC-3E 38G 28MHz XPIC<w:br/>RTN 380AX DC 70/80GHz 250MHz Huawei	38/80	6623/6310	A38D80S06 Huawei	0.6	236	46

7.4 Inne źródła pól elektromagnetycznych

Na podstawie informacji otrzymanych od użytkownika oraz obserwacji otoczenia miejsca wykonywania pomiarów stwierdzono występowanie innych źródeł pola-EM, pracujących w systemie: telefonii komórkowej (800MHz-2600MHz), linii radiowych (5GHz - 90GHz), które istotnie wpływają na wyniki pomiarów.

Sprawozdanie z badań bez pisemnej zgody laboratorium nie może być powielane inaczej niż w całości.
 Wynik przedstawione w niniejszym sprawozdaniu odnoszą się wyłącznie do badanego obiektu i do warunków i konfiguracji urządzeń w dniu wykonywania pomiarów.

8. Opis pomiarów

8.1. Metoda badań

Zgodna z rozporządzeniem Ministra Klimatu z dnia 17 lutego 2020 r. w sprawie sposobów sprawdzania dotrzymania dopuszczalnych poziomów pól elektromagnetycznych w środowisku (Dz.U. 2022 poz. 2630), określona w pkt 25 ppkt 1 załącznika do niniejszego rozporządzenia.

8.2. Termin pomiarów i warunki środowiskowe

Podczas wykonywania pomiarów pól elektromagnetycznych nie występowały opady atmosferyczne. Wyniki pomiaru parametrów pogodowych przedstawia poniższa tabela:

Data [rrrr-mm-dd]	Godzina [hh:mm-hh:mm]	Warunki środowiskowe			
		Temperatura [°C]		Wilgotność względna [%]	
2024-06-20	08:40-10:20	Przed pomiarem	Po pomiarach	Przed pomiarem	Po pomiarach
		18.1	20.1	70.3	67.3

Przedstawione wyżej warunki środowiskowe, występujące podczas wykonywania pomiarów pól elektromagnetycznych, są zgodne ze specyfikacją techniczną użytego zestawu pomiarowego.

8.3. Warunki pracy urządzeń nadawczych

Podczas pomiarów w przypadku uzyskania wyniku pomiaru szerokopasmowego wykonanego zastosowaną metodą, dla zakresów częstotliwości od 10 MHz do 300 GHz, powiększonego o rozszerzoną niepewność pomiaru U dla współczynnika rozszerzenia $k = 2$ przekraczającego 70% najniższej dopuszczalnej wartości składowej elektrycznej lub magnetycznej pola dla objętych pomiarami zakresów częstotliwości, uwzględnia się poprawki pomiarowe przekazane przez zleceniodawcę, umożliwiające uwzględnienie maksymalnych parametrów pracy instalacji zgodnie z pkt 7 załącznika do Rozporządzeniem Ministra Klimatu z dnia 17 lutego 2020 r. w sprawie sposobów sprawdzania dotrzymania dopuszczalnych poziomów pól elektromagnetycznych w środowisku (Dz. U. 2022, poz. 2630) zaznaczając, że wymagane jest wykonanie pomiaru z wykorzystaniem miernika selektywnego. W przypadku uzyskania wyniku pomiaru szerokopasmowego wykonanego zastosowaną metodą, dla zakresów częstotliwości od 10 MHz do 300 GHz, powiększonego o rozszerzoną niepewność pomiaru U dla współczynnika rozszerzenia $k = 2$ nieprzekraczającego 70% najniższej dopuszczalnej wartości składowej elektrycznej lub magnetycznej pola dla objętych pomiarami zakresów częstotliwości, nie uwzględnia się poprawek pomiarowych.

8.4. Wyposażenie pomiarowe

Zestaw pomiarowy służący do pomiaru natężenia składowej elektrycznej pola elektromagnetycznego złożony z szerokopasmowego miernika i sondy pomiarowej:

Oznaczenie miernika	Producent	Model	Numer fabryczny	Oznaczenie sondy	Producent	Model	Numer fabryczny
MW-09	Wavecontrol	Miernik pól elektromagnetycznych SMP3	23SL0221	SW-17	Wavecontrol	Sonda WPF90	23WP260005

Mierniki natężenia pola elektromagnetycznego podlegają okresowemu sprawdzeniu zgodnie z procedurą wewnętrzną P-03 i PB-01. Świadectwo wzorcowania zestawu pomiarowego z dnia 11 września 2023 o numerze LWIMP/W/333/23 wydane przez Politechnikę Wrocławską.
Data ważności świadectwa wzorcowania: 11 września 2025 (zgodnie z procedurą wewnętrzną P-03).

Oznaczenie miernika	Producent	Model	Numer fabryczny	Oznaczenie sondy	Producent	Model	Numer fabryczny
MW-09	Wavecontrol	Miernik pól elektromagnetycznych SMP3	23SL0221	SW-18	Wavecontrol	Sonda WPF6-HP	23WP060414

Mierniki natężenia pola elektromagnetycznego podlegają okresowemu sprawdzeniu zgodnie z procedurą wewnętrzną P-03 i PB-01. Świadectwo wzorcowania zestawu pomiarowego z dnia 11 września 2023 o numerze LWIMP/W/333/23 wydane przez Politechnikę Wrocławską.
Data ważności świadectwa wzorcowania: 11 września 2025 (zgodnie z procedurą wewnętrzną P-03).

Sprawozdanie z badań bez pisemnej zgody laboratorium nie może być powielane inaczej niż w całości.
Wynik przedstawione w niniejszym sprawozdaniu odnoszą się wyłącznie do badanego obiektu i do warunków i konfiguracji urządzeń w dniu wykonywania pomiarów.

Termohigrometr:

Oznaczenie:	TH-30	Producent:	AZ INSTRUMENT CORP	Model:	Termohigrometr AZ8706
-------------	-------	------------	--------------------	--------	-----------------------

Data ważności świadectwa wzorcowania: 2 stycznia 2026 (zgodnie z procedurą wewnętrzną P-03).

Dalmierz:

Oznaczenie	Producent	Typ	Numer seryjny	Nr świadectwa wzorcowania	Data świadectwa wzorcowania
D-12	Leica	Dalmierz Leica Disto D510	1050632837	4665.2-M11-4180-1748/15	27 listopada 2015

Data ważności świadectwa wzorcowania: 27 listopada 2025 (zgodnie z procedurą wewnętrzną P-03).

Odbiornik GNSS:

Odbiornik GNSS wbudowany w miernik natężenia pola elektromagnetycznego użyty podczas pomiarów	Producent	Model
	UBlox	MAX-M8Q

Odbiorniki podlegają okresowemu sprawdzeniu zgodnie z procedurą wewnętrzną P-03.

9. Wyniki pomiarów

Pole elektryczne

Nr pionu	Opis umiejscowienia pionu (punktu) pomiarowego	Wysokość pomiaru [m]	Zmierzona wartość natężenia pola elektrycznego E [V/m] ^{1,5}			Wartość natężenia pola elektrycznego powiększona o niepewność pomiaru ⁴ E [V/m]	Wskaźnikowa wartość poziomej emisji pól elektromagnetycznych WME ³	Współrzędne geograficzne pionu (punktu) pomiarowego ²
			Sonda SW-17	Sonda SW-18	SUMA			
1	GKP w odległości 23m od anteny sektorowej az. 80°	2.0	1.3	1.3	1.3	1.7	0.06	50°1'0.8" 18°27'44.3"
2	GKP w odległości 64m od anteny sektorowej az. 80°	2.0	1.4	1.4	1.4	1.8	0.06	50°1'0.8" 18°27'46.4"
3	GKP w odległości 99m od anteny sektorowej az. 80°	2.0	1.5	1.5	1.5	1.9	0.07	50°1'1.2" 18°27'48.2"
4	GKP w odległości 22m od anteny radioliniowej az. 92°	2.0	1.5	1.5	1.5	1.9	0.07	50°1'0.5" 18°27'44.3"
5	GKP w odległości 48m od anteny radioliniowej az. 92°	2.0	1.6	1.6	1.6	2.1	0.07	50°1'0.5" 18°27'45.7"
6	GKP w odległości 17m od anteny radioliniowej az. 97°	2.0	1.5	1.5	1.5	1.9	0.07	50°1'0.5" 18°27'44.3"
7	GKP w odległości 51m od anteny radioliniowej az. 97°	2.0	1.4	1.4	1.4	1.8	0.06	50°1'0.1" 18°27'45.7"
8	GKP w odległości 10m od anteny sektorowej az. 195°	2.0	1.5	1.5	1.5	1.9	0.07	50°1'0.1" 18°27'42.8"
9	GKP w odległości 44m od anteny sektorowej az. 195°	2.0	1.6	1.6	1.6	2.1	0.07	50°0'59.0" 18°27'42.5"
10	GKP w odległości 95m od anteny sektorowej az. 195°	2.0	1.7	1.7	1.7	2.2	0.08	50°0'57.6" 18°27'41.8"

Sprawozdanie z badań bez pisemnej zgody laboratorium nie może być powielane inaczej niż w całości.
 Wynik przedstawione w niniejszym sprawozdaniu odnoszą się wyłącznie do badanego obiektu i do warunków i konfiguracji urządzeń w dniu wykonywania pomiarów.

11	GKP w odległości 10m od anteny radioliniowej az. 236°	2.0	1.6	1.6	1.6	2.1	0.07	50°1'0.1" 18°27'42.5"
12	GKP w odległości 90m od anteny radioliniowej az. 236°	2.0	1.7	1.7	1.7	2.2	0.08	50°0'58.7" 18°27'39.2"
13	GKP w odległości 14m od anteny sektorowej az. 320°	2.0	1.6	1.6	1.6	2.1	0.07	50°1'0.8" 18°27'42.5"
14	GKP w odległości 59m od anteny sektorowej az. 320°	0.3-2.0	<1.0*	<1.0*	<1.0*	1.3	0.05	50°1'1.9" 18°27'41.0"
15	GKP w odległości 76m od anteny sektorowej az. 320°	2.0	1.3	1.3	1.3	1.7	0.06	50°1'2.6" 18°27'40.7"
16	GKP w odległości 100m od anteny sektorowej az. 320°	2.0	1.3	1.3	1.3	1.7	0.06	50°1'3.0" 18°27'39.6"
17	GKP w odległości 17m od anteny radioliniowej az. 15°	2.0	1.5	1.5	1.5	1.9	0.07	50°1'1.2" 18°27'43.6"
18	GKP w odległości 52m od anteny radioliniowej az. 15°	2.0	1.7	1.7	1.7	2.2	0.08	50°1'2.3" 18°27'43.9"
19	PKP na az. 340° w odległości 31m od anteny radioliniowej az. 15°, narożnik budynku	2.0	1.4	1.4	1.4	1.8	0.06	50°1'1.6" 18°27'42.8"
20	DPP budynek magazynu parterowy, pion wewnątrz budynku	0.3-2.0	<1.0*	<1.0*	<1.0*	1.3	0.05	50°1'2.6" 18°27'40.0"
21	PKP na az. 140° w odległości 17m od anteny radioliniowej az. 97°	2.0	1.8	1.8	1.8	2.3	0.08	50°1'0.1" 18°27'43.9"
22	DPP budynek biurowy PGNiG piętro 1z1 pion na korytarzu	0.3-2.0	<1.0*	<1.0*	<1.0*	1.3	0.05	50°1'0.8" 18°27'39.2"
-	GKP w odległości 344m od anteny sektorowej az. 320°	2.0	1.6	1.6	1.6	2.1	0.07	50°1'9.1" 18°27'31.7"
-	GKP w odległości 270m od anteny sektorowej az. 80°	2.0	1.9	1.9	1.9	2.4	0.09	50°1'1.9" 18°27'56.5"
-	GKP w odległości 334m od anteny sektorowej az. 195°	2.0	1.3	1.3	1.3	1.7	0.06	50°0'50.0" 18°27'38.9"

Sprawozdanie z badań bez pisemnej zgody laboratorium nie może być powielane inaczej niż w całości.
 Wynik przedstawione w niniejszym sprawozdaniu odnoszą się wyłącznie do badanego obiektu i do warunków i konfiguracji urządzeń w dniu wykonywania pomiarów.

Pole magnetyczne (wyznaczone na podstawie pomiaru wartości natężenia pola elektrycznego)

Nr pionu	Opis umiejscowienia pionu (punktu) pomiarowego	Wysokość pomiaru [m]	Wartość natężenia pola magnetycznego H [A/m] ¹			Wartość natężenia pola magnetycznego powiększona o niepewność pomiaru ⁴ H [A/m]	Wskaźnikowa wartość poziomu emisji pól elektromagnetycznych WM _H ³	Współrzędne geograficzne pionu (punktu) pomiarowego ²
			Sonda SW-17	Sonda SW-18	SUMA			
1	GKP w odległości 23m od anteny sektorowej az. 80°	2.0	0.003	0.003	0.003	0.004	0.06	50°1'0.8" 18°27'44.3"
2	GKP w odległości 64m od anteny sektorowej az. 80°	2.0	0.004	0.004	0.004	0.005	0.07	50°1'0.8" 18°27'46.4"
3	GKP w odległości 99m od anteny sektorowej az. 80°	2.0	0.004	0.004	0.004	0.005	0.07	50°1'1.2" 18°27'48.2"
4	GKP w odległości 22m od anteny radioliniowej az. 92°	2.0	0.004	0.004	0.004	0.005	0.07	50°1'0.5" 18°27'44.3"
5	GKP w odległości 48m od anteny radioliniowej az. 92°	2.0	0.004	0.004	0.004	0.005	0.07	50°1'0.5" 18°27'45.7"
6	GKP w odległości 17m od anteny radioliniowej az. 97°	2.0	0.004	0.004	0.004	0.005	0.07	50°1'0.5" 18°27'44.3"
7	GKP w odległości 51m od anteny radioliniowej az. 97°	2.0	0.004	0.004	0.004	0.005	0.07	50°1'0.1" 18°27'45.7"
8	GKP w odległości 10m od anteny sektorowej az. 195°	2.0	0.004	0.004	0.004	0.005	0.07	50°1'0.1" 18°27'42.8"
9	GKP w odległości 44m od anteny sektorowej az. 195°	2.0	0.004	0.004	0.004	0.005	0.07	50°0'59.0" 18°27'42.5"
10	GKP w odległości 95m od anteny sektorowej az. 195°	2.0	0.005	0.005	0.005	0.006	0.08	50°0'57.6" 18°27'41.8"
11	GKP w odległości 10m od anteny radioliniowej az. 236°	2.0	0.004	0.004	0.004	0.005	0.07	50°1'0.1" 18°27'42.5"
12	GKP w odległości 90m od anteny radioliniowej az. 236°	2.0	0.005	0.005	0.005	0.006	0.08	50°0'58.7" 18°27'39.2"
13	GKP w odległości 14m od anteny sektorowej az. 320°	2.0	0.004	0.004	0.004	0.005	0.07	50°1'0.8" 18°27'42.5"
14	GKP w odległości 59m	0.3-2.0	<0.003*	<0.003*	<0.003*	0.003	0.05	50°1'1.9" 18°27'41.0"

Sprawozdanie z badań bez pisemnej zgody laboratorium nie może być powielane inaczej niż w całości.
 Wynik przedstawione w niniejszym sprawozdaniu odnoszą się wyłącznie do badanego obiektu i do warunków i konfiguracji urządzeń w dniu wykonywania pomiarów.

	od anteny sektorowej az. 320°							
15	GKP w odległości 76m od anteny sektorowej az. 320°	2.0	0.003	0.003	0.003	0.004	0.06	50°1'2.6" 18°27'40.7"
16	GKP w odległości 100m od anteny sektorowej az. 320°	2.0	0.003	0.003	0.003	0.004	0.06	50°1'3.0" 18°27'39.6"
17	GKP w odległości 17m od anteny radioliniowej az. 15°	2.0	0.004	0.004	0.004	0.005	0.07	50°1'1.2" 18°27'43.6"
18	GKP w odległości 52m od anteny radioliniowej az. 15°	2.0	0.005	0.005	0.005	0.006	0.08	50°1'2.3" 18°27'43.9"
19	PKP na az. 340° w odległości 31m od anteny radioliniowej az. 15°, narożnik budynku	2.0	0.004	0.004	0.004	0.005	0.07	50°1'1.6" 18°27'42.8"
20	DPP budynek magazynu parterowy, pion wewnątrz budynku	0.3-2.0	<0.003*	<0.003*	<0.003*	0.003	0.05	50°1'2.6" 18°27'40.0"
21	PKP na az. 140° w odległości 17m od anteny radioliniowej az. 97°	2.0	0.005	0.005	0.005	0.006	0.08	50°1'0.1" 18°27'43.9"
22	DPP budynek biurowy PGNiG piętro 1z1 pion na korytarzu	0.3-2.0	<0.003*	<0.003*	<0.003*	0.003	0.05	50°1'0.8" 18°27'39.2"
-	GKP w odległości 344m od anteny sektorowej az. 320°	2.0	0.004	0.004	0.004	0.005	0.07	50°1'9.1" 18°27'31.7"
-	GKP w odległości 270m od anteny sektorowej az. 80°	2.0	0.005	0.005	0.005	0.006	0.09	50°1'1.9" 18°27'56.5"
-	GKP w odległości 334m od anteny sektorowej az. 195°	2.0	0.003	0.003	0.003	0.004	0.06	50°0'50.0" 18°27'38.9"

GKP – Główny Kierunek Pomiarowy

DPP – Dodatkowy Pion Pomiarowy

PKP – Pomocniczy Kierunek Pomiarowy

¹ wyniki oznaczone * są wynikami poniżej czułości zestawu pomiarowego i są wynikami spoza zakresu akredytacji. Do obliczenia wyniku skorygowanego przyjęto wartość skorelowaną z rzeczywistym wynikiem pomiaru - dolną granicę akredytowanego zakresu pomiarowego metody

² współrzędne geograficzne pozyskane metodą pomiaru bezpośredniego

³ do wyznaczenia wartości wskaźnikowej W_{ME} i W_{MH} przyjęto na podstawie uzgodnień z klientem oraz rozpoznania źródeł, jako wartości dopuszczalne pola elektrycznego i magnetycznego odpowiednio 28 V/m i 0,073 A/m.

Sprawozdanie z badań bez pisemnej zgody laboratorium nie może być powielane inaczej niż w całości.
 Wynik przedstawione w niniejszym sprawozdaniu odnoszą się wyłącznie do badanego obiektu i do warunków i konfiguracji urządzeń w dniu wykonywania pomiarów.

⁴ do wyznaczenia niepewności dla wyników poniżej czułości zestawu pomiarowego, przyjęto niepewność dla minimalnej wartości z zakresu pomiarowego.

⁵ maksymalna wartość chwilowa

Niepewność oszacowano zgodnie z dokumentem P-03 „Procedura nadzoru nad wyposażeniem” w postaci niepewności rozszerzonej wynikającej z niepewności standardowej pomnożonej przez współczynnik rozszerzenia $k=2$.

Całkowita szacowana niepewność rozszerzona składowej E wynosi odpowiednio:

sonda SW-17: 28.5% dla częstotliwości do 4 GHz, sonda SW-18: 26.2% dla częstotliwości do 4 GHz

Umiejscowienie pionów (punktów) pomiarowych przedstawiono w załączniku nr 2 do niniejszego sprawozdania.

10. Omówienie wyników pomiarów

W związku z tym, że żadna z wartości zmierzonych, udokumentowanych w tabelach w pkt. 9, uzyskanych w skutek zastosowania pomiaru szerokopasmowego, powiększonego o rozszerzoną niepewność pomiaru U dla współczynnika rozszerzenia $k = 2$ nie przekroczyła 70% najniższej dopuszczalnej wartości składowej elektrycznej lub magnetycznej pola dla objętych pomiarami zakresów częstotliwości, nie uwzględnia się poprawek pomiarowych.

W wyniku zastosowania sposobu sprawdzenia dotrzymania dopuszczalnych poziomów pól elektromagnetycznych w środowisku, zgodnie pkt 25 ppkt 1 Rozporządzenia Ministra Klimatu z dnia 17 lutego 2020 r. (Dz. U. 2022, poz. 2630), w związku z tym, że żadna z wartości wskaźnikowych, udokumentowanych w tabelach w pkt. 9 nie przekracza wartości 1, stwierdza się, że w miejscach, w których wykonano pomiary w otoczeniu instalacji radiokomunikacyjnej 50228 (35228N!) KRY_WODZISLSL_RADLINSKA, dopuszczalne poziomy pól elektromagnetycznych w środowisku należy uznać za dotrzymane.

11. Podstawa prawna

- 1) Ustawa z dnia 27 kwietnia 2001 r. Prawo ochrony środowiska (Dz.U. 2024 poz. 54)
- 2) Rozporządzenie Ministra Zdrowia z dnia 17 grudnia 2019 r. w sprawie dopuszczalnych poziomów pól elektromagnetycznych w środowisku (Dz. U. 2019, poz. 2448)
- 3) Rozporządzenie Ministra Klimatu z dnia 17 lutego 2020 r. w sprawie sposobów sprawdzania dotrzymania dopuszczalnych poziomów pól elektromagnetycznych w środowisku (Dz. U. 2022, poz. 2630),
- 4) Akredytacja nr AB 419 wydana przez Polskie Centrum Akredytacji (wydanie 22, z dnia 9 stycznia 2024 r.)

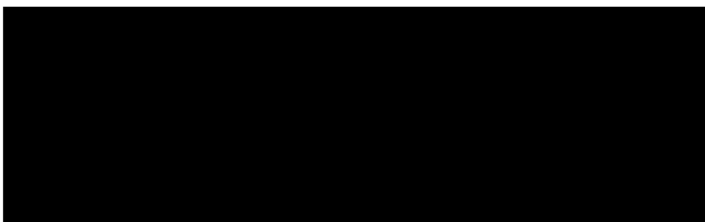
12. Spis załączników

- Załącznik 1. Lokalizacja obiektu badań
- Załącznik 2. Usytuowanie pionów (punktów) pomiarowych
- Załącznik 3. Dokumentacja fotograficzna obiektu badań

13. Data wydania i autoryzowania sprawozdania

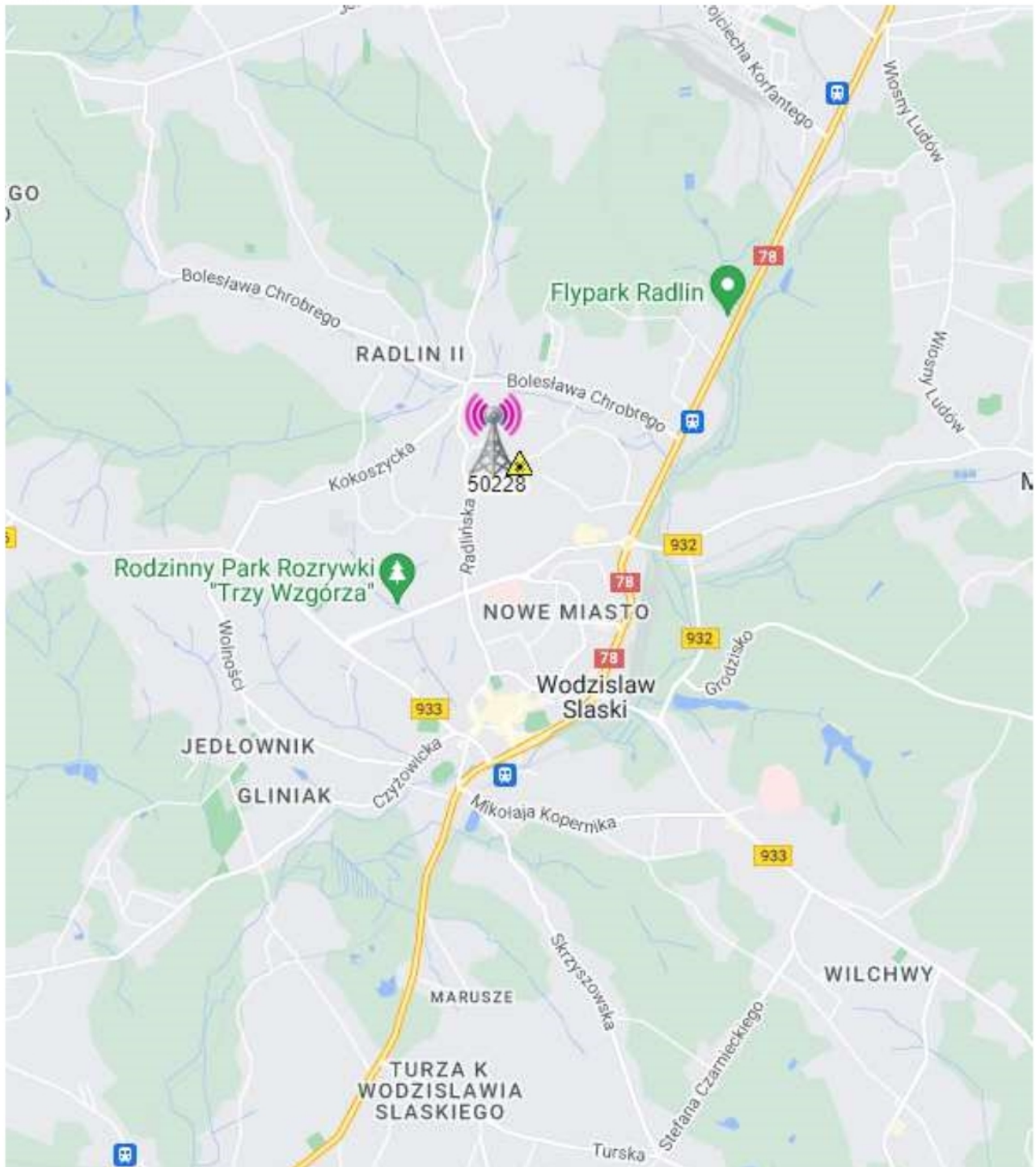
Obliczenia i sprawozdanie wykonał :

Sprawozdanie autoryzował:

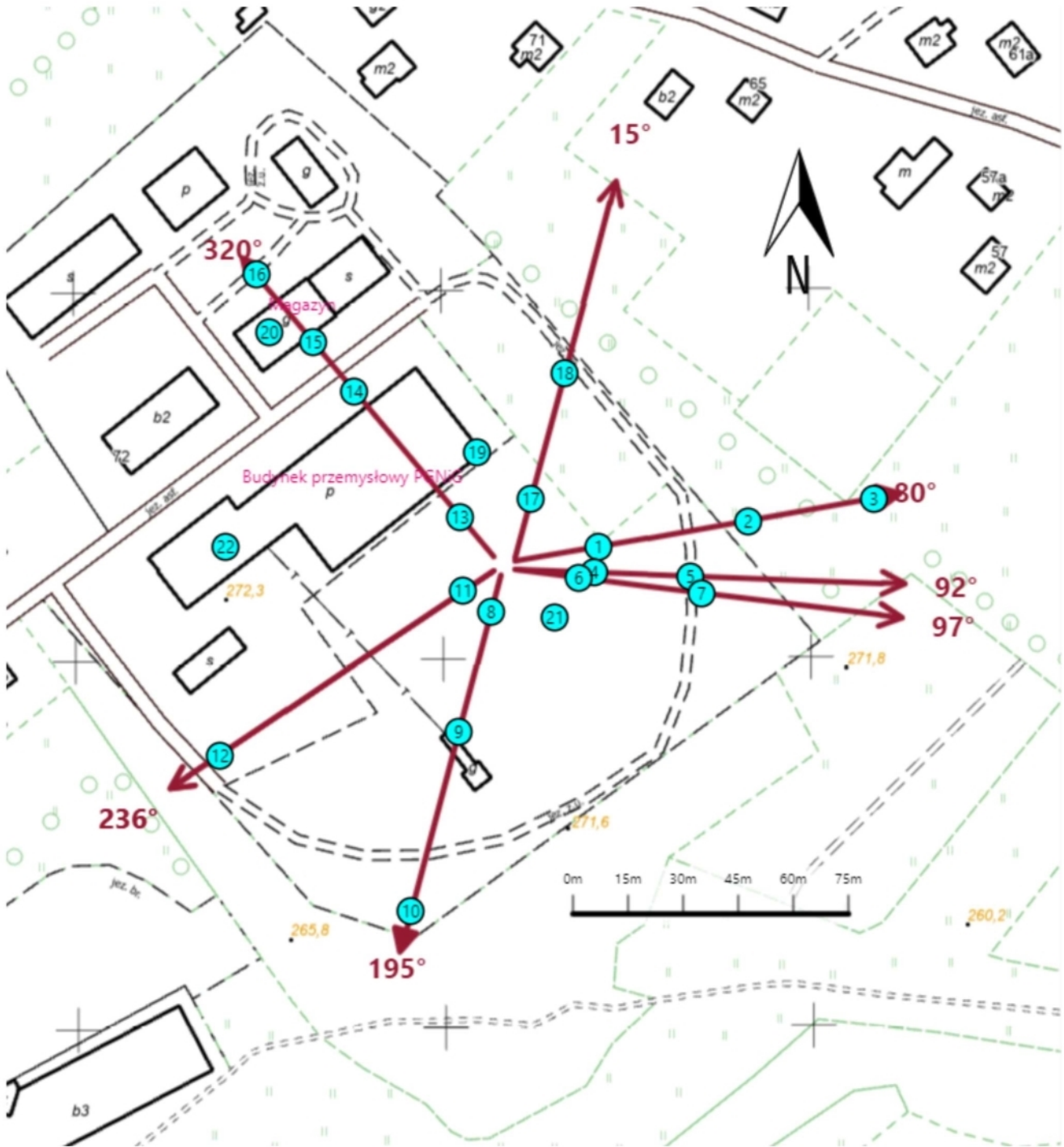














Koniec sprawozdania

Sprawozdanie z badań bez pisemnej zgody laboratorium nie może być powielane inaczej niż w całości.
Wynik przedstawione w niniejszym sprawozdaniu odnoszą się wyłącznie do badanego obiektu i do warunków i konfiguracji urządzeń w dniu wykonywania pomiarów.



Załącznik nr 1	Instalacja radiokomunikacyjna T-Mobile Polska S.A. 50228 (35228N!) KRY_WODZISLSL_RADLINSKA Lokalizacja instalacji
----------------	---



Załącznik nr 2	<p style="text-align: center;">Instalacja radiokomunikacyjna T-Mobile Polska S.A. KRY_WODZISLSL_RADLINSKA (35228N!) Usytuowanie pionów pomiarowych w otoczeniu instalacji radiokomunikacyjnej</p>								
	<p>Legenda:</p> <table style="width: 100%; border: none;"> <tr> <td style="text-align: center;"></td> <td style="text-align: center;"></td> <td style="text-align: center;"></td> <td style="text-align: center;"></td> </tr> <tr> <td style="text-align: center;">Brak dostępu</td> <td style="text-align: center;">Pion pomiarowy</td> <td style="text-align: center;">Kierunek oddziaływania anten sektorowych</td> <td style="text-align: center;">Kierunek oddziaływania anten radioliniowych</td> </tr> </table>					Brak dostępu	Pion pomiarowy	Kierunek oddziaływania anten sektorowych	Kierunek oddziaływania anten radioliniowych
									
Brak dostępu	Pion pomiarowy	Kierunek oddziaływania anten sektorowych	Kierunek oddziaływania anten radioliniowych						



Załącznik nr 3

Instalacja radiokomunikacyjna T-Mobile Polska S.A.
50228 (35228N!) KRY_WODZISLSL_RADLINSKA

Dokumentacja fotograficzna